# 白银厂黄铁矿型矿床成因模式探讨

### 陈文森

(福建有色地质勘探公司)

关于白银厂黄铁矿型矿床的成因问题,不少 研究者曾作过讨论[1.2.3],但至今仍众说纷纭, 莫衷一是。

笔者等(4)通过研究矿区的古火山活动与成 矿的关系,发现赋存在喷发中心附近的近火山 口亚相中的矿床,和距离较远的过渡亚相中的矿 床,各具有明显不同的特征。1977年,R.R. Large (5)在研究加拿大的同类矿床时,也得出 了相同的结论。他用"近处"和"远处"这两个 术语来称呼这两类矿床的矿石。不过他认为"近 处"是指离热液喷出中心近,未必专指离喷发中 心近,尽管二者往往是一致的。

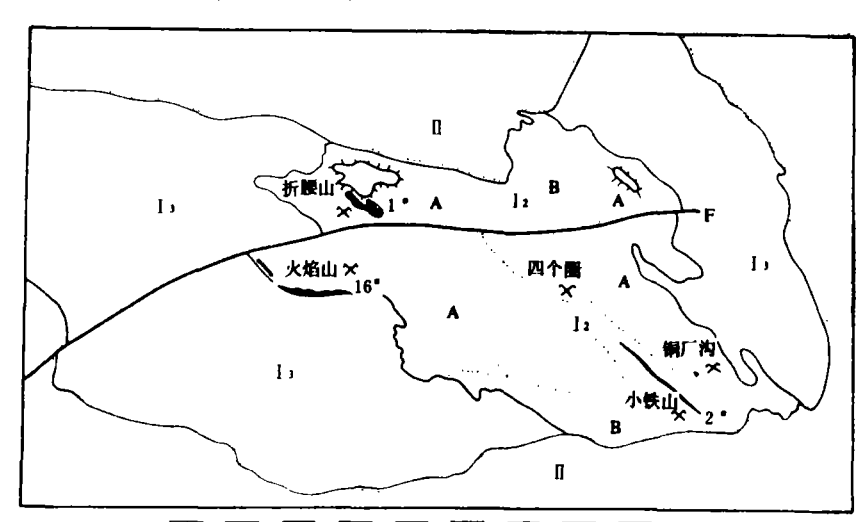
近年来,作者发现白银厂矿区的3个矿床, 随着与喷发中心距离的加大,其某些特征呈现规 律性的变化,从而组成一个递变的成矿系列。查 明这一系列不仅有理论意义,而且有实际意义。 本文通过研究矿床的特征及其演化规律、试图提 出一个成矿模式。

### 矿床的主要特征

矿区发育一套早古生代\*海底喷发的细碧角 斑岩。大致可划分为两大旋回: 第 [ 旋回以富钠 为特征, 岩浆分异良好。又可细分为三个亚旋回, 依次为基性一酸性—基性火山喷发。其中,第二 亚旋回以中心式猛烈爆发为主,形成一套巨厚的 酸性熔岩、凝灰熔岩、火山碎屑岩、沉凝灰岩和 稍晚的次火山岩。区内的矿床均产在其中。

第Ⅱ旋回为不整合于前者之上的基性火山岩 喷发,以富钾为特征。

根据火山颈相的位置,熔岩的厚度变化,火



II 1 1 1 2 A 3 B 4 5 5 − 6 7 7 × 8 9

图 1 白银厂矿床分布图

1 一喷发旋回; 2 一喷发亚旋回; 3 一近火山口亚相; 4 一过渡亚相; 5 一火山颈相; 6 一断层; 7 一不整合; 8 一矿床; 9 一主矿体及其编号

<sup>\*</sup>地层时代尚未最终确定,可能属早寒武世或早奥陶世。

山集块、角砾的块度和密度变化,以及次火山岩 的分布等因素判断,折腰山和铜厂沟北各有一个 古喷发中心。随着与喷发中心的距离加大,火山 岩相有明显的变化, 沉积岩夹层明显增多。据此, 相应地划分出近火山口亚相和过渡亚相。 显然, 远离喷发中心的应属远火山口亚相,后者在矿区 外围大量发育。

矿区内已发现五个矿床,距喷发中心从近到 远依次是: 折腰山、火焰山、铜厂沟、四个圈和 小铁山。其中前二者产于近火山口亚相,后二者 产于过渡亚相。折腰山、火焰山、小铁山为大一 中型矿床, 其余为小型矿床。矿区外围尚有石青 硐矿床,为产于远火山口亚相中的小型多金属矿 床。综合对比各矿床的地质特征,发现它们既具 有明显的共性,又各具个性。

### (一) 共性

- 1.所有矿床均产在火山丘—复背斜内,距喷 发中心不远。
- 2. 绝大多数矿体产在第二亚旋回的石英角斑 凝灰岩中,仅个别产在向第三亚旋回过渡的凝灰 岩中,其他层位及岩石中至今未发现工业矿体。 这种明显的层位控制,表明了成矿时间上的局 限性。
- 3.矿体成群产出。大一中型矿床均有1~3 个储量巨大的主矿体,且均为块状矿石。成矿物 质的高度集中,表明了成矿在空间上的局限性。
- 4. 主矿体常赋存在不同岩性的接触带附近, 例如折腰山1\*,火焰山16\*,小铁山1\*、2\*、 3 \*等矿体。显然,火山喷发末期、喷发间歇或 环境的变换,对成矿是有利的。
- 5. 矿床具强烈的围岩蚀变,近矿的围岩,长 石往往消失,形成无长石带; 黄铁矿化广泛而强 烈。但是过渡亚相中矿床的蚀变范围较狭窄且不 均匀,而且还有范围广泛得多的蚀变带,其中却 无矿体。看来,与其把围岩蚀变看作矿床的特征, 与成矿作用伴牛,不如看作是靠近喷发中心的标 志、既可与成矿的、也可与不成矿的火山气液作 用有关。
- 6.矿石中黄铁矿占绝对优势, 其颗粒细小且 多破碎。

7.据陈兰桂(1981)测定: 小铁山和折腰山 主要矿石矿物包裹体的爆裂温度如表 1。

折腰山、小铁山矿石矿物

		包裹体的爆製温度"	表 1
矿	床	矿石及矿物	平均温度 (で)
		浸染状黄铁矿	324
折		块状和稠密浸染状黄铁矿	332
pas		磁黄铁矿	337
腰	$\langle    $	磁铁矿	344
山	\\	闪锌矿	339
		黄铜矿	306
		脉状黄铁矿	347
小 铁		块状黄铁矿	341
		条带状黄铁矿	340
Щ		花岗斑岩中的黄铁矿	279

\*样品共18件。

从表1可见,这两个矿床主要矿石矿物的爆 裂温度相当接近,变化于306~347℃之间,而 与穿切矿体的花岗斑岩脉(有人认为它是深部成 矿母岩的浅部分枝)中的黄铁矿的温度截然不同, 表明了它们成因上的一致性。

据报道,东太平洋海岭顶部,在一定的压力 下,海底热泉喷口处的温度可达 350 ℃,从中喷 出并直接沉淀出硫化贱金属矿物。

8.矿区及外围 187 件硫同位素数据分别表示 于表2、图2及图3中。

白银厂矿区及外围各矿床硫同位素统计表 表 2								
_	矿床	S32/S34			8	样品		
	W DK	最高	最低	平均	最高	最低	平均	个数
	折腰山	22.438	22.070	22.143	+ 6.8	- 9.7*	+ 3.51	47
Ą	火焰山	22.318	22.058	22.124	+ 8.8	- 4.4	+ 4.36	52
区	铜厂沟	22.130	22.026	22.074	+ 8.7	+ 4.1	+ 6.63	24
	小铁山	22.154	22.063	22.114	+ 7.1	+ 3.0	+ 4.77	13
外	石青酮	22.254	22.013	22.108	+ 9.4	- 1.5	+ 5.09	24
/1	银峒沟	22.156	22.107	22.125	+ 5.1	+ 2.9	+ 4.26	5
围	老虎山	22.148	22.038	22.106	+ 8.2	+ 3.3	+ 5.16	22

\*全矿区 &S 3 4 %。呈负值者仅有 7 件, 除 2 件尚待研究 外,其余5件均为沉积岩或火山一沉积岩中的漫染状黄铁矿。 与矿石中的黄铁矿截然不同。

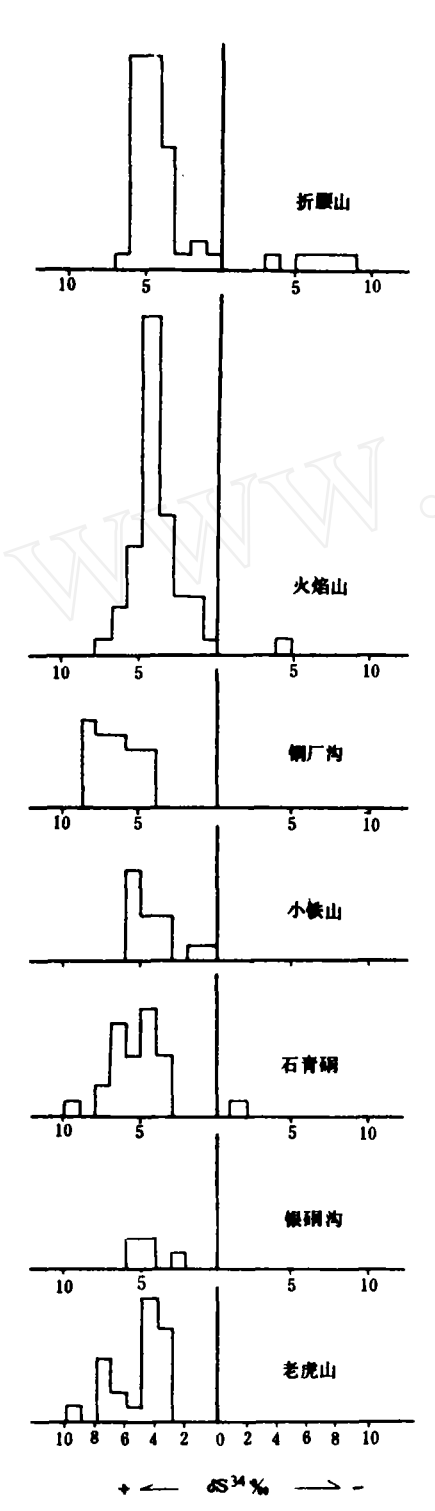
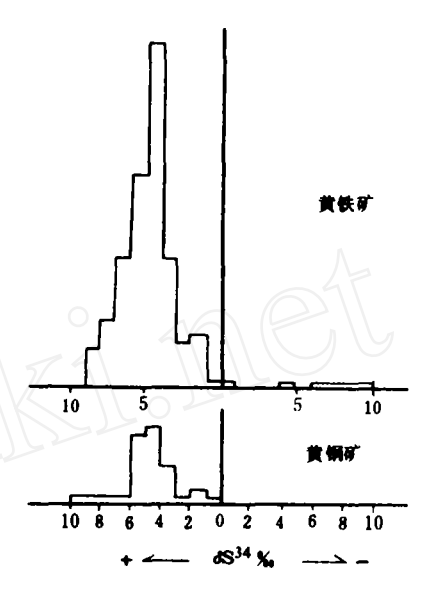


图 2 按矿床统计的频数直方图

从图 2 和图 3 可见, 矿区和外围的所有矿床、 各矿床的主要矿石矿物(包括方铅矿和闪锌矿, 已统计入表 2, 但未单独作图),其硫同位素组成



按矿石矿物统计的频数直方图

接近于陨石型,且相当一致,均以8S34 = + 4~ + 5 %为峰值呈塔式分布, 离散范围颇窄。许多 研究者认为,这种特征反映硫来源于上地幔。鉴 于影响硫同位素分馏的因素相当复杂,作者认为 上述特征至少提供了各种矿床成因上具有一致性 的信息,而且尔后经历了相似的地质过程。

以上共性提示,白银厂矿床的形成与其围岩 火山岩的形成是同源、同时、同地的,成矿活动 实际上只是火山活动的一个组成部分,而矿石只 不过是在火山活动过程中生成的一种特殊的、具 有工业价值的岩石罢了。由此可见, 白银厂黄铁 矿型矿床与世界上许多知名的同类矿床一样,是 一个典型的火山矿床。

#### (二) 个性

1.在成矿元素组合上, 折腰山、火焰山以Cu 为主,伴生Zn;铜厂沟也以Cu为主,边部Pb, Zn较多;小铁山、四个圈则以Zn, Pb为主, Cu较少。

矿区外围远火山口亚相中的石青硐矿床仍为 Zn, Pb, Cu组合, 但规模小且均为浸染状矿 石。再向远处则出现栏门石Mn矿和惠家庄的 Mn-Fe 矿沉积。更远处还有 Fe 的沉积,矿区 外围仅见矿化,也许镜铁山矿床的产出部位与此 相当。

因此,距喷发中心从近到远元素的变化为:

Cu (Zn) → Cu (Zn, Fe) → Zn, Pb, Cu → Mn → Mn, Fe → Fe (图 6).

2.离喷发中心越远的矿体,形态越简单,与围岩整合的现象越普遍、清晰。折腰山为厚大而不甚规则的透镜体,深部网脉状矿大量发育,沿火山活动期间生成的断裂甚至充填块状的 194 \*\* 矿体: 火焰山的主矿体呈似层状、透镜状,形态较简单;小铁山则为明显呈整合产出的层状矿体,石青硐含矿的酸性凝灰岩夹于大理岩层间,厚逾百米,几乎整层矿化,仅据化学分析才圈定出二百余个矿体。至于外围的铁锰矿沉积特征更明显,以前均被看成沉积矿床。

3.主矿体中的层纹或条带等沉积构造,距喷发中心越远越发育。折腰山矿床中上述构造甚少发现,相反,却频频出现反映热液作用的特征,例如矿石的元素组成复杂(达36种,其中多数可回收利用),矿物种类繁多,Co,Ni,Cu及放射性元素局部富集,交代、晶洞、粗晶等结构及角砾、网脉等构造发育等等;火焰山矿床矿石中中常见条带状构造(图5);小铁山矿石普遍发育条带及层纹构造,有时还见揉皱构造(图4),

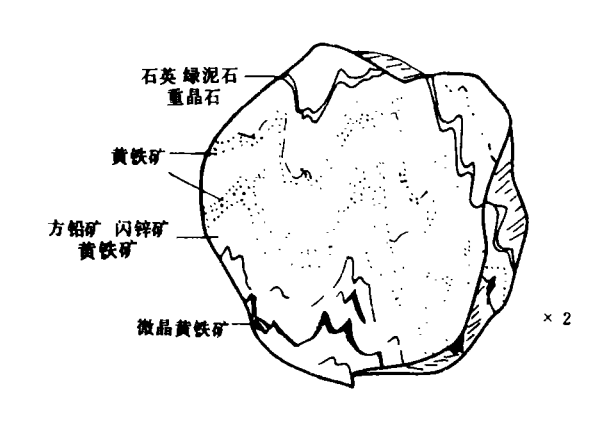


图 4 小铁山含铅、锌黄铁矿的揉皱构造

反映成岩过程中的变动; 到石青硐矿床则全部为条带状矿石,黄铁矿沿层理及片理分布且具压力阴影,表明形成于变质作用之前。

4. 矿石中重晶石含量随着与喷发中心的距离 加大而递增。折腰山矿床至今未发现重晶石矿物, 却出现其他矿床所未见的黝锡矿、自然铋、磁黄 铁矿等,火焰山偶尔可见重晶石呈条带状产于矿 体中(图 5); 而小铁山、石青硐矿床中重晶石则 作为脉石矿物普遍发育。

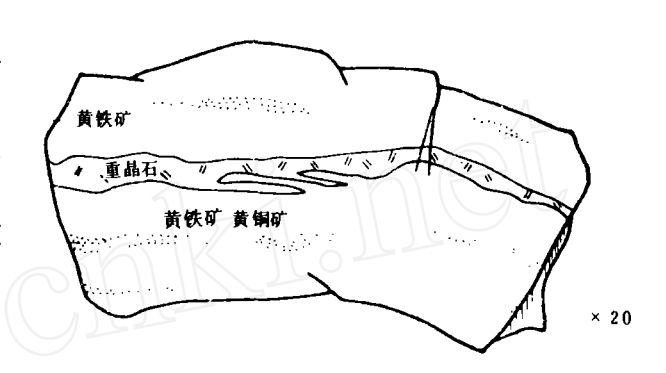


图 5 火焰山 16 "矿体中的重晶石条带

据姜齐节等(1980)研究,虽然重晶石作为一种正常成分出现于火山矿床中,但难以设想在远火山条件下还会大量生成。作者推测,如果Ba<sup>2+</sup>来自火山气液,当进入海底时将很快与海水中大量存在的SO<sup>2-</sup>结合成溶度积很小的BaSO<sub>4</sub>而沉淀。这样,在一定的范围内,随着与喷发中心距离的加大,重晶石含量逐渐增加,正反映发生在海水一岩石界面上的火山喷气一沉积作用的逐渐增强。

5.各矿床主矿体中黄铁矿的 Co, Ni 含量及 Co/Ni 值随远离喷发中心而呈规律性的连续递减(表3)。

2	子矿		To,N (据腾)	□含量及 ₹超、198		表 3
矿床	矿 构	石造	样品 个数	Co (ppm)	Ni (ppm)	Co / Ni
折腰山	块	状	8	479.9	7 • 8	92.7
火焰山	块	状	8	130.1	12.3	10.9
铜厂沟	浸:	染状	14	94.9	10-1	9.0
小铁山	块	状	2	50.5	18-0	2.9

距喷发中心最近的折腰山与较远的小铁山矿 床相比,矿石中黄铁矿所含的微量元素及元素对 的比值也有明显差异(表4)。

不少研究者主张黄铁矿的 Co/Ni 比值可 以反映矿床的成因,认为 Co/Ni>1 为内生矿 床的特征,<1 为沉积矿床的特征。王亚芬(1981)

	微		量		元 素		(%)		比		值	
矿床	I n	Ge	Ga	s	Se	Te	Au (g/t)	Ag (g/t)	Co/Ni	Se/Te	S/Te	Ga/Ge
折腰山	0.00039	0.00009	0.0009	51.93	0.0134	0.0001	0.83	29.8	20.7	134	3875	10
小铁山	0.00019	0.00009	0.0001	46.67	0.0063	0.00054	3.74	4.4	3.9	11.6	8272	1.1

修正这个意见,认为只有成矿物质来源于古陆剥 蚀区,并且是在沉积中形成的黄铁矿,其Co/Ni 才<1,虽然她认为白银厂的 Co /Ni  $\gg 1$  ,应 属火山气液矿床。作者认为除此之外,这种 Co/Ni 比值的连续变化,以及表 4 所反映的两

个端员矿床间微量元素含量和元素对比值的明显 差别(甚至相差达一个数量级),却绝非偶然。这 正反映折腰山以火山气液成矿为主,随着远离喷 发中心,逐渐为喷发沉积成矿所取代,至小铁 山、石青硐则以后者为 主。上述各点归纳入表5。

		各矿床特征的演化表		表 5
At: ST	火山颈相	近火山口亚相	过渡亚相	远火山口亚相
特征	喷发中心	→折腰山 → 火焰山 ▶ 铜厂沟 ▶/	小铁山、四个圈	▶石青酮 ▶惠家庄
成矿元素		Cu (Zn) +Cu (ZnPb) +2	ZnPbCu •ZnPl	bCu •MnFe
矿体形态		不规则透镜状 似层状透镜状 透镜状	层状	层状 层状
沉积构造		罕见	常见	
重晶石含量		无 少	→ 多	<b>\$</b>
Co/Ni		高	低	
微量元素特征		热液型	沉积型	

## 成矿机理的推断和成因模式

矿区的五个矿床及石青硐矿床均赋存在酸性 火山岩中,产于基性火山岩中的矿床仅见于矿区 外围,其规模远较前者为小。这与世界上大多数 大型矿床产在酸性火山岩中是一致的。据马歇欧 (1965) 研究, 在900℃、1000大气压条件下, 岩浆愈偏酸性,岩浆气液中硫化物含量愈高,成 矿的可能性愈大。作者认为,白银矿区贱金属元 素的高丰度乃是形成第Ⅰ喷发旋回的钠质岩浆本 身的属性,由于强烈分异而富集于高酸度长英质 岩浆喷发阶段,这正是矿体在时空分布上如此局 限的主要原因之一。

从岩浆分异出来的富含硫化物的气水溶液, 在某次喷发的末期集中,在内部压力的驱动下向 上运移。喷发中心附近,由于应力集中,常发育 大量的断层裂隙;同时,所堆积的火山碎屑具有 高孔隙度和渗透率,容许含矿气液广泛渗入并周 流。另一方面,海水也容易沿裂隙断层下渗,当 其受热上升时也能淬取围岩中的金属元素,形成 活跃的含矿热卤水,参与成矿。所以在喷发中心 附近,成矿的主导因素是气液的交代与充填。

当含矿气液运移至海水—岩石界面上时,海 水的静压力使之不易扩散。由于急剧冷却,加上 相当大的静压力(一般认为块状硫化矿形成于深 海),含矿蒸气将转化成热液,不会沸腾或直接上 升逸散。高矿化度的热液由于比重较大,将沿火 山斜坡向低洼处流动,并在略为远离喷发中心处 沉积成矿。

R.R. Large (1977) 研究了Fe — S — O 系 统中的Eh值、pH值、氧逸度和硫的总溶量对 硫 化物沉淀的影响,认为热液在离开喷出口运移 时,随着温度的降低、海水的稀释、pH值逐渐上 升, 氧逸度和氧化硫 (So) 与还原硫 (Sr) 比 值不断改变,将分别析出Cu, Zn和Pb, Zn。 通常大部分Cu在热液筒内沉淀,而所有的Pb, Zn仍留在溶液中并被带到海底<sup>[5]</sup>。这就造成了成 矿元素的分异。既然上述诸因素随含矿溶液离开

喷出口而逐渐改变,那么受其制约的矿床特征当然也随之逐渐改变。靠近喷发中心,成矿作用以火山气液的充填、交代为主,伴有喷发沉积作用,形成以铜为主的矿床; 向外则喷发沉积作用逐渐增强,至火山斜坡或更远的火山洼地则成为主导因素,形成以铅锌为主、含铜的矿床; 来自火山喷发而呈各种状态进入海水中的铁锰质,被海流携带到离火山口远处沉积,形成与火山硅质岩建造有关的铁锰矿,例如栏门石、惠家庄、镜铁山等地所见。由于在海水中的滞流,矿床形成的时

间往往较晚。

于是我们发现,白银厂矿区的五个矿床组成一个连续演化的成矿系列,对于其中任一矿床,实际上很难简单地概括为热液成因或沉积成因。 C. A. Anderson索性就主张: "鉴于这类矿床的成因复杂,因此区分它们是同生的、后生的或热液的实在没有多大意义"<sup>[6]</sup>。是该结束这种无休止的争论了。

兹将白银厂矿床的成因模式示意如图 6。 必须指出,这一模式只表示成矿作用。野外

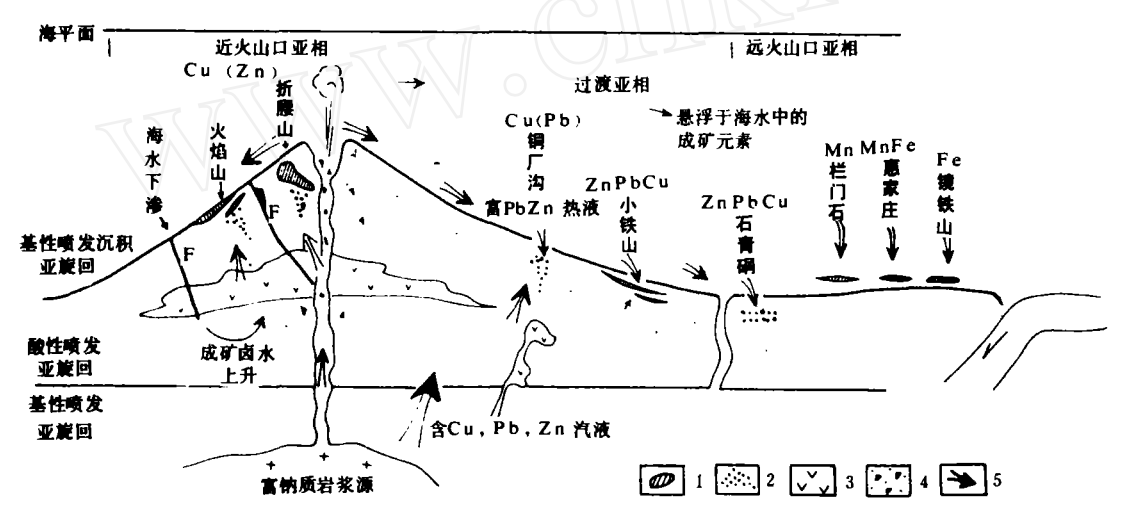


图 6 白银厂成矿模式图

1 一块状矿体; 2 一浸染状矿体; 3 一石英角斑质熔岩、次火山岩; 4 一石英角斑质碎屑岩; 5 一矿液运移方向; 箭头大小示相对强弱

观察表明,后期的构造变动对矿床有重大的影响,它可使矿石发生塑性流动,导致矿体在压力低处加厚、富集;矿石中的活性组分黄铜矿发生迁移,在矿体内形成网脉,甚至穿入离"母"体不远的围岩中,形成一定规模的石英—黄铜矿脉,如折腰山所见。D. F. Sangster (1973) 认为块状硫化矿体在应力下将发生位移,"T"字型矿体旋转换位的结果,将使原来位于下盘的直立细脉带移向块状矿体的一端'''。折腰山块状矿体均在 VI 行以东,以西为浸染状矿,可能就是在顺时针方向的扭力作用下旋转换位的结果。显然,变质作用对矿床的影响是十分重要的。但是这一问题已超出本文讨论的范围。

根据上述结论可以推论,当发现该成矿系列中的一个矿床时,就可以通过恢复古火山活动机

构, 追索"链条"中的其他"环节"。

本文编写过程中,蒙王集磊、万冠儒、余太 勤、史子平等工程师提出宝贵的意见,姜齐节工 程师审阅全文,特此表示深切的感谢。

#### 参 考 文 献

- [1] 宋叔和: 地质学报, 1955, 35卷, 第1期
- [2] 胡惠民: 地质论评, 1959, 19卷, 第1期
- [3]成 岗: 地质与勘探, 1980, 第8期
- [4] 甘肃冶金地质三队,地质与勘探,1975,第8期
- [5] Large, R.R.: Econ. Geol., 1977, v. 72, No.4, pp. 549 ~ 572
- [ 6 ] Anderson, C. A. : Econ. Geol., 1969, v. 64, No. 2, pp.  $129 \sim 146$
- [7] Sangster, D. F.: Precambian volcanogenic massive sulfide deposits in Canada: a review.

  «Geological Servey of Canada, paper 72—22»,

pp.  $1 \sim 36$